

Real-World Super Resolution CVPR 2020 – Ntire 2020 challenge

2020 VDSL 연구실 학계 세미나

서유림

Vision & Display Systems Lab.

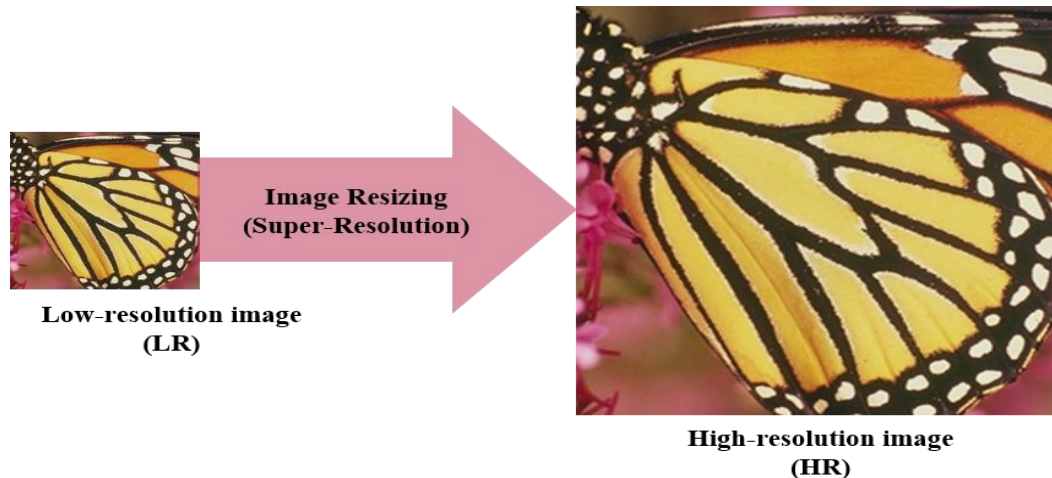
Dept. of Electronic Engineering, Sogang University

Outline

- Motivation
- Proposed Method 1
 - Contribution 1
 - Contribution 2
 - Contribution 3
- Experiment Results
 - Track 1
 - Track 2
- Proposed Method 2
- Experiment Results
 - Track 1
 - Track 2
- References

Motivation

- Super Resolution (SR) 이란?
 - Low Resolution (LR) 영상을 High Resolution (HR) 영상으로 변환하는 기술
 - ill-posed problem
 - Multiple solutions for LR input
 - 딥러닝 기반의 학습 방법을 통해 비약적인 성능 향상
 - SRCNN[1], VDSR[2], SRResNet 과 SRGAN[3], EDSR [4], RCAN [5], ESRGAN [6]...

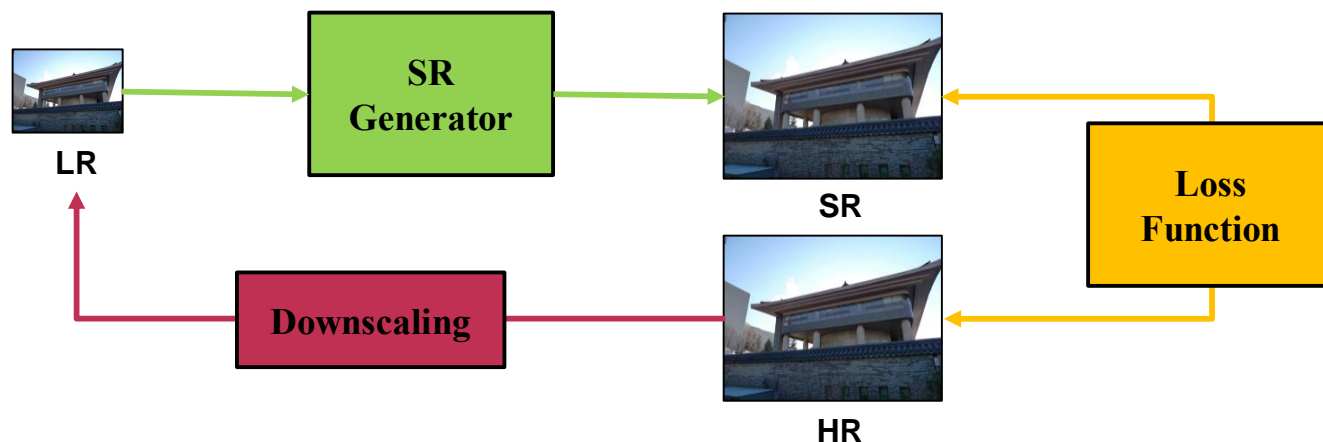


Motivation

- 학습 방법에 따른 분류

- PSNR-oriented SR

- 대표적인 영상 평가 지표인 PSNR (Peak Signal-to-Noise Ratio) 수치를 높이기 위한 학습
 - Pixel-wise Loss Function (ex) L1, L2 function) 를 사용해 SR 출력 영상과 HR 영상 사이의 차이를 줄이도록 네트워크 학습
 - SRCNN, VDSR, EDSR, RCAN...
 - 장점 : 높은 PSNR 수치, 낮은 구조적 왜곡
 - 단점 : blur artifact 및 고주파수 성분 복원 어려움



Motivation

- 학습 방법에 따른 분류

- Perceptual-Oriented SR

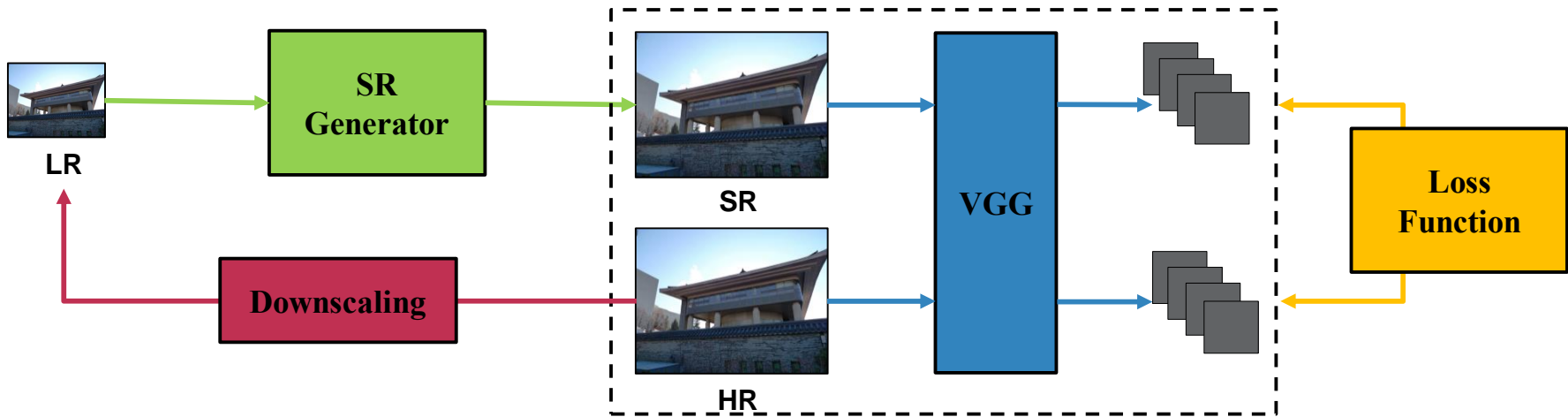
- PSNR-Oriented SR의 단점을 해결하기 위해 Perceptual loss [7] 과 GAN 사용

- Perceptual loss : SR 영상과 HR 영상을 pre-trained 된 VGG 네트워크에 입력 후 출력 사이의 차이를 줄이도록 네트워크 학습

- SRGAN, ESRGAN, EnhanceNet...

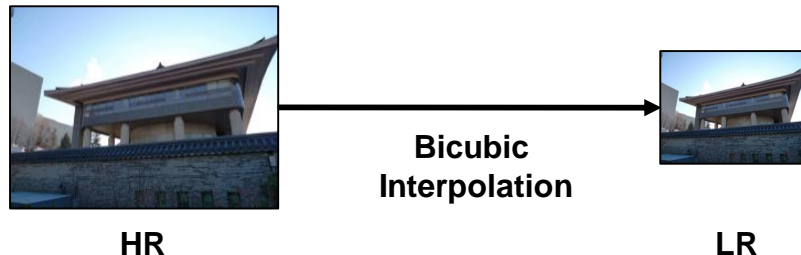
- 장점 : 높은 인지적 성능, 낮은 blur artifact

- 단점 : 구조적 왜곡 및 noise 발생



Motivation

- Real-World에서의 적용
 - 일반적으로 학습 데이터 셋을 만드는 방법
 - Bicubic interpolation 을 downscaling 시 사용



- 그러나 실제 Real-World에서의 영상은 HR 영상에서 Bicubic interpolation 으로 downscaling 된 영상이 아님



Motivation

- Real-World에서의 적용 (scaling factor x4)
 - 일반적인 학습데이터셋으로 Pre-Trained RCAN에 적용
 - HR 영상을 downscaling하는 방법에 따른 출력 영상의 quality 차이
 - 즉 기존의 학습 방법으로는 임의의 Real-World 영상에 높은 성능 불가능



HR



Nearest



Bilinear



Bicubic



Lanczos



PNSR : 20.2726



PNSR : 24.1343



PNSR : 24.2644



PNSR : 24.2668

Motivation

- Real-World에서의 적용 (scaling factor x4)
 - 일반적인 학습데이터셋으로 Pre-Trained RCAN에 적용
 - HR 영상을 downscaling하는 방법에 따른 출력 영상의 quality 차이
 - 즉 기존의 학습 방법으로는 임의의 Real-World 영상에 높은 성능 불가능



HR



Nearest



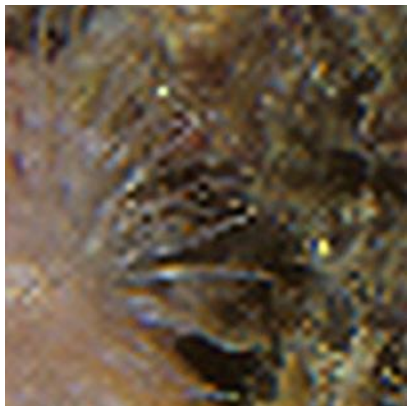
Bilinear



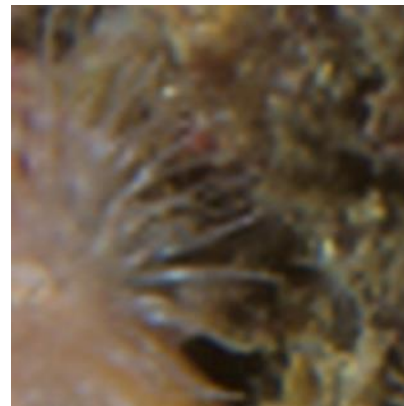
Bicubic



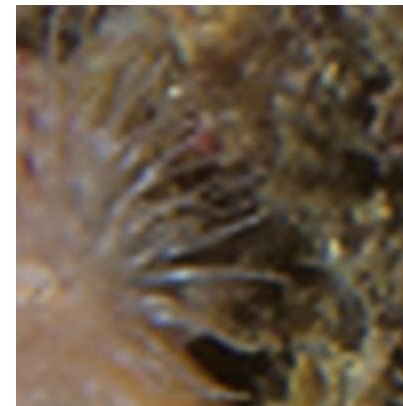
Lanczos



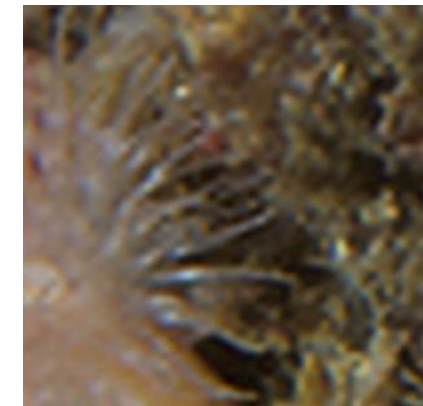
PNSR : 25.6983



PNSR : 28.7693



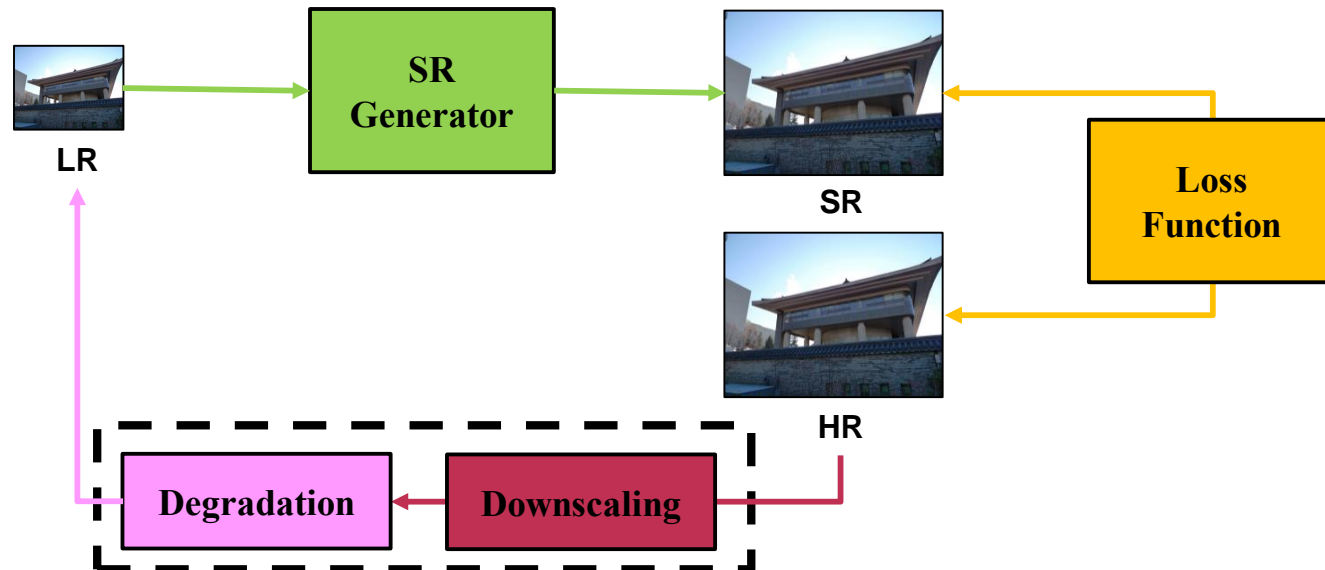
PNSR : 29.5592



PNSR : 29.5267

Motivation

- Real-World에서의 적용이 잘되려면?
 - Real-World 영상에 최대한 대응되는 학습데이터셋이 필요 (Blind-SR)
 - HR 영상에서 Bicubic interpolation 기반의 downsampling을 통해 LR영상을 생성할 경우 임의의 입력 LR 영상에 대해 네트워크가 적절히 이를 반영하지 못하는 문제가 발생
 - LR-HR pair가 없을 때 (weakly or unsupervised learning) 대응할 수 있는 학습 방법
 - 다양한 Downsampling & Degradation을 반영할 수 있는 네트워크

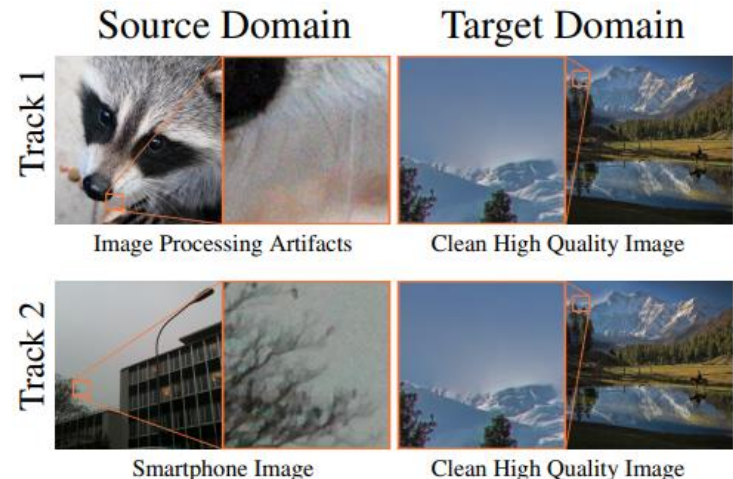


Motivation

- Ntire 2020 image challenges
 - Real World Super-Resolution
 - Samsung-SLSI-MSL → Proposed Method 1
Track 1 → 2등 Track 2 → 평가 제외
 - Impressionism → Proposed Method 2
Track 1, 2 → 1등

Team	PSNR↑	SSIM↑	LPIPS↓	MOS↓
Impressionism	24.67 ₍₁₆₎	0.683 ₍₁₃₎	0.232 ₍₁₎	2.195 ₍₁₎
Samsung-SLSI-MSL	25.59 ₍₁₂₎	0.727 ₍₉₎	0.252 ₍₂₎	2.425 ₍₂₎
BOE-IOT-AIBD	26.71 ₍₄₎	0.761 ₍₄₎	0.280 ₍₄₎	2.495 ₍₃₎
MSMers	23.20 ₍₁₈₎	0.651 ₍₁₇₎	0.272 ₍₃₎	2.530 ₍₄₎
KU-ISPL	26.23 ₍₆₎	0.747 ₍₇₎	0.327 ₍₈₎	2.695 ₍₅₎
InnoPeak-SR	26.54 ₍₅₎	0.746 ₍₈₎	0.302 ₍₅₎	2.740 ₍₆₎
ITS425	27.08 ₍₂₎	0.779 ₍₁₎	0.325 ₍₆₎	2.770 ₍₇₎

Team	NIQE↓	BRISQUE↓	PIQE↓	NRQM↑	PI↓	IQA-Rank↓	MOR↓
Impressionism	5.00 ₍₁₎	24.4 ₍₁₎	17.6 ₍₂₎	6.50 ₍₁₎	4.25 ₍₁₎	3.958	1.54 ₍₁₎
AITA-Noah-A	5.63 ₍₄₎	33.8 ₍₅₎	29.7 ₍₈₎	4.23 ₍₈₎	5.70 ₍₆₎	7.720	3.04 ₍₂₎
ITS425	8.95 ₍₁₈₎	52.5 ₍₁₈₎	88.6 ₍₁₈₎	3.08 ₍₁₈₎	7.94 ₍₁₈₎	14.984	3.30 ₍₃₎
AITA-Noah-B	8.18 ₍₁₇₎	50.1 ₍₁₂₎	88.0 ₍₁₇₎	3.23 ₍₁₅₎	7.47 ₍₁₇₎	13.386	3.57 ₍₄₎
Webbzhou	7.88 ₍₁₅₎	51.1 ₍₁₅₎	87.8 ₍₁₆₎	3.27 ₍₁₄₎	7.30 ₍₁₅₎	12.612	4.44 ₍₅₎
Samsung-SLSI-MSL	6.25 ₍₇₎	37.3 ₍₆₎	26.0 ₍₅₎	4.31 ₍₇₎	5.97 ₍₇₎	6.662	-



NTIRE 2020 image challenges

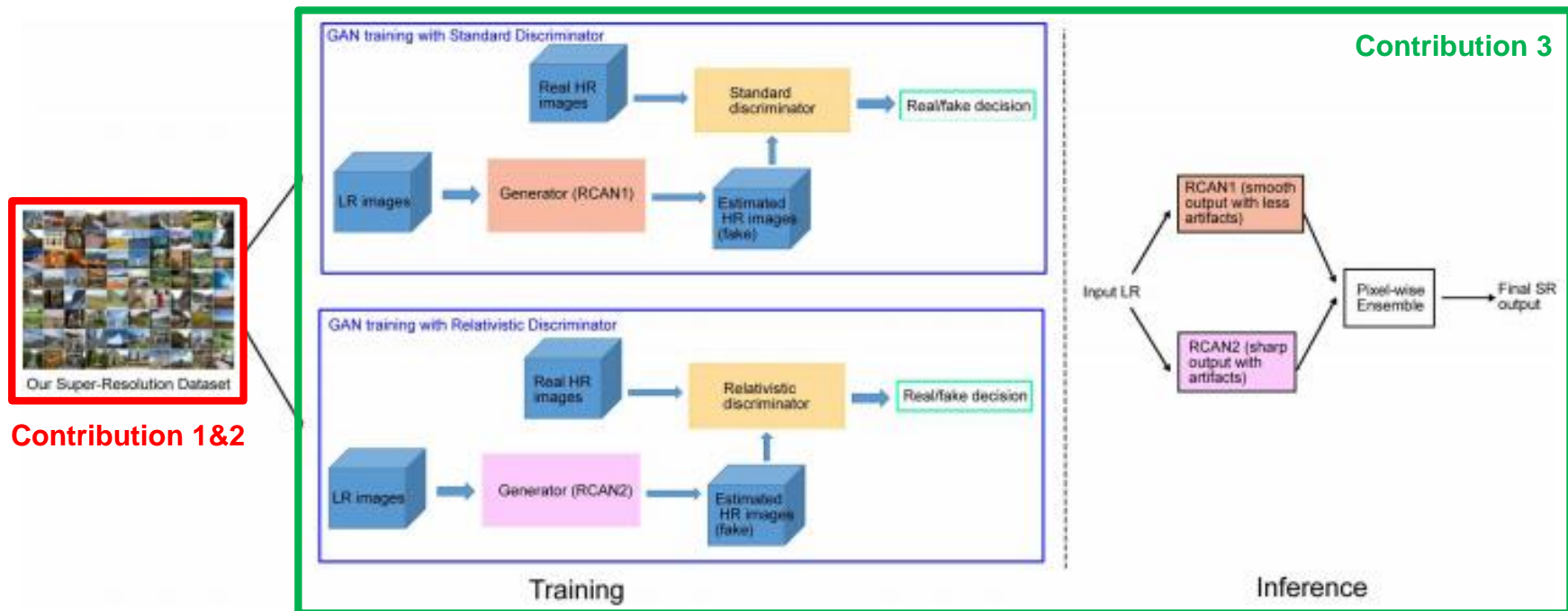
- Perceptual Extreme Super-Resolution
- Real World Super-Resolution - Track 1 Image Processing Artifacts
- Real World Super-Resolution - Track 2 Smartphone Images
- Real Image Denoising - Track 1 rawRGB
- Real Image Denoising - Track 2 sRGB
- Image Deblurring - Track 1: on desktop
- Image Deblurring - Track 2: on smartphone
- Demoireing - Track 1 Single image
- Demoireing - Track 2 Burst
- Spectral Reconstruction from an RGB Image - Track 1 Clean
- Spectral Reconstruction from an RGB Image - Track 2 Real World
- NonHomogeneous Dehazing

Proposed Method 1

- Real-World Super-Resolution using Generative Adversarial Networks
 - Contribution 1
 - Our generic SR model trained on the SR dataset generated by multiple degradations generalizes well on the images with unknown degradation caused by image processing artifacts
 - Contribution 2
 - We design a mobile SR dataset based on registered mobile-DSLR image pairs at same scale, where the DSLR images are super resolved with our generic SR model. Fine-tuning our SR model on this dataset improves the perceptual quality on mobile images.
 - Contribution 3
 - Our GAN-based fusion is capable of improving the perceptual quality and reducing the artifacts of the estimated HR images.

Proposed Method 1

- Network Architecture
 - Contribution 1, 2 → 학습 데이터셋 만드는 방법
 - Contribution 3 → 네트워크 설계
 - SRGAN, ESRGAN의 Generator 가 아닌 RCAN을 SR generator 로 사용



Proposed Method 1

- Contribution 1

- 다양한 degradation이 랜덤하게 적용된 학습 데이터셋을 생성

$$x = N(D(y * k))$$

LR 영상 **Noise** **Down scaling** **HR 영상** **Blur Kernel**

- Challenge에서 제공하는 Source Domain 영상 (image processing artifacts) 및 Target Domain 영상 (Clean High Quality) 을 HR 영상으로 설정하고 위의 식 적용하여 LR 영상 생성
- **Downscaling** : Nearest Neighbor, Bilinear, Bicubic and Lanczos
- **Blur Kernel** : Gaussian blur kernel in range [0.2, 3] and kernel size 15 x 15
- **Noise** : Gaussian noise in range [0,5] or Poisson in range [50, 150] or Gaussian-Poisson

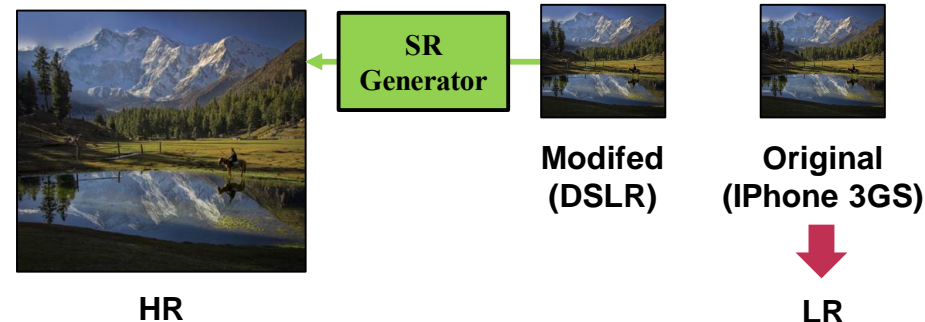
Proposed Method 1

- Contribution 2

- Reference 영상이 없는 real-world 영상의 학습을 위한 pair 데이터셋을 만들기 위해 pre-trained 된 SR generator를 사용 후 fine-tuning



Track 2 제공



- 저자는 Track 2에서 제공한 iPhone 3GS로 촬영된 Original data를 LR 영상으로 사용
- 좌측의 Modified (DSLR Enhancement [8] 적용) 영상을 pre-trained 된 SR generator를 통하여 upscaling 된 영상을 생성 후 해당 영상을 HR 영상으로 학습에 사용

Proposed Method 1

- Contribution 3

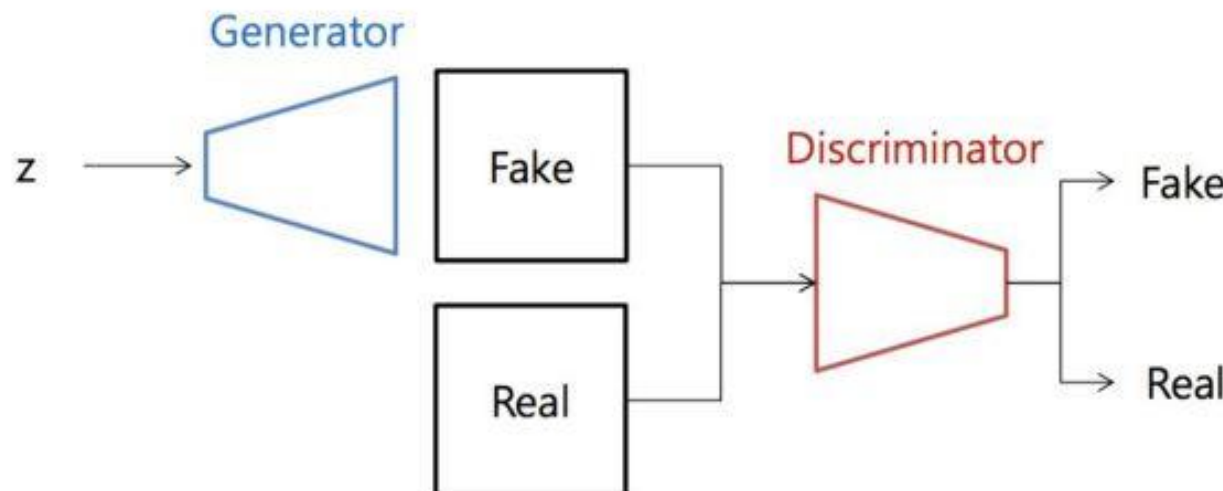
- Related Work

- GAN (Super Resolution Generative Adversarial Networks)

- ↳ SR 영상을 출력하는 Generator 와 real인지 fake인지 구분하는 Discriminator로 구성

- ↳ Real = HR 영상, z = LR 영상

- ↳ Generator 출력 (Fake) = SR 출력 영상

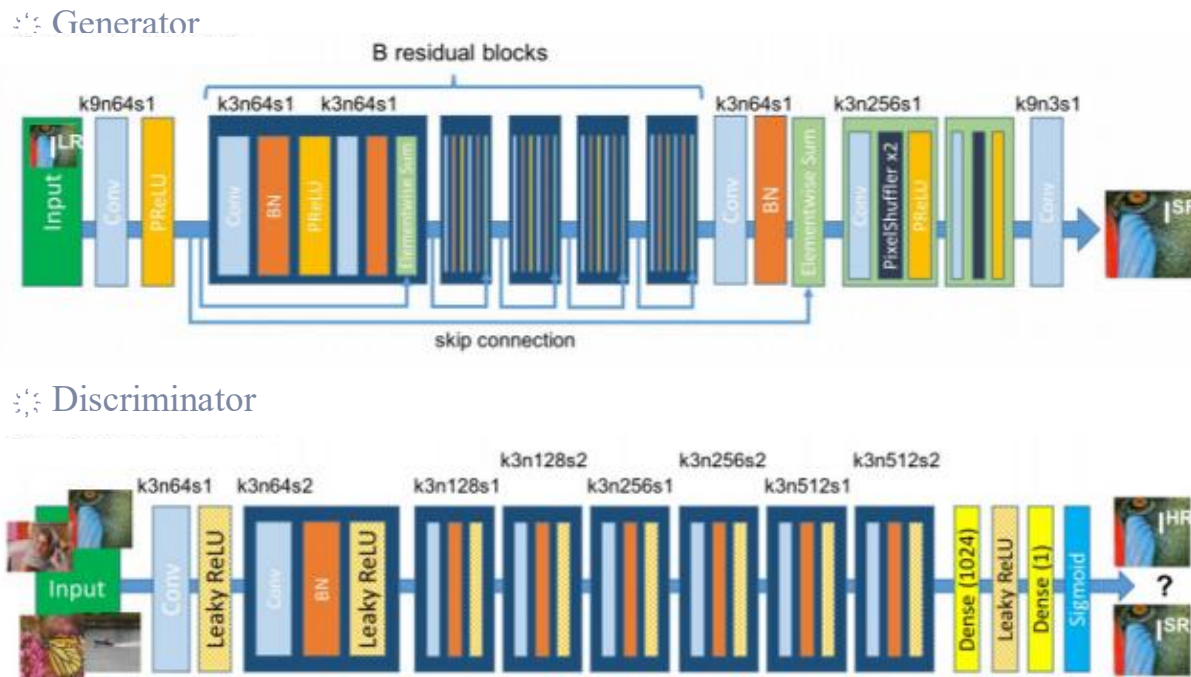


Proposed Method 1

- Contribution 3

- Related Work

- SRGAN (Super Resolution using Generative Adversarial Networks)



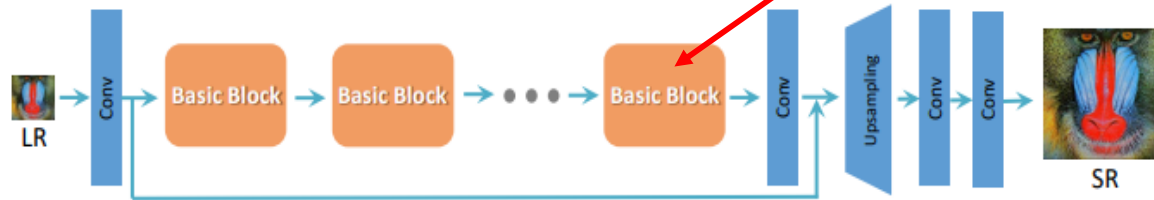
Proposed Method 1

- Contribution 3

- Related Work

- ESRGAN (Enhanced Super Resolution using Generative Adversarial Networks)

Generator



Discriminator

- ✓ With RaD, the discriminator estimates the probability that the given real data is more realistic than fake data, on average. [9]

a) Standard GAN

$$D(x_r) = \sigma(C(\text{Real})) \rightarrow 1 \quad \text{Real?}$$

b) Relativistic GAN

$$D_{Ra}(x_r, x_f) = \sigma(C(\text{Real}) - \mathbb{E}[C(\text{Fake})]) \rightarrow 1 \quad \text{More realistic than fake data?}$$
$$D(x_f) = \sigma(C(\text{Fake})) \rightarrow 0 \quad \text{Fake?}$$
$$D_{Ra}(x_f, x_r) = \sigma(C(\text{Fake}) - \mathbb{E}[C(\text{Real})]) \rightarrow 0 \quad \text{Less realistic than real data?}$$

Proposed Method 1

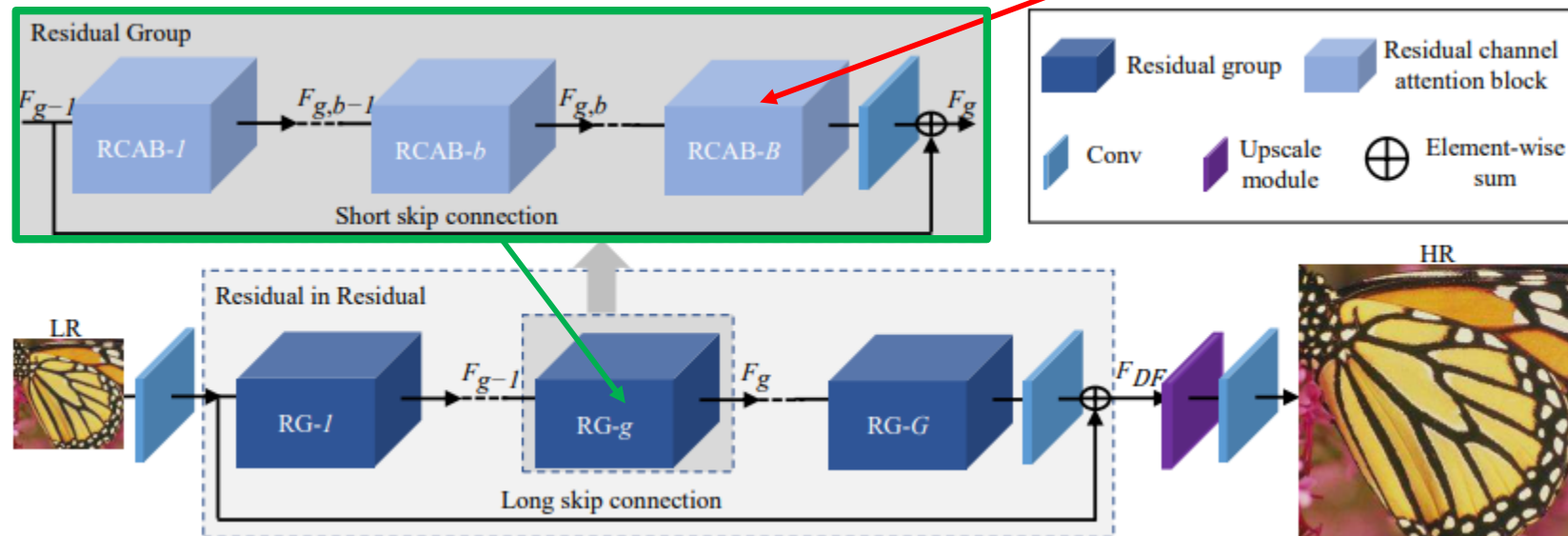
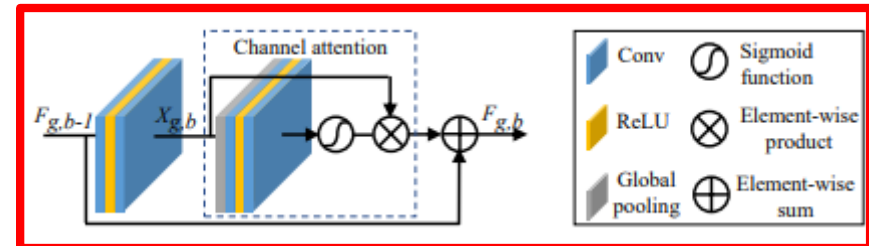
- Contribution 3

- Related Work

- RCAN 네트워크

- 20 개의 RCAB (1개의 RG 당)

- 총 10개의 RG로 구성



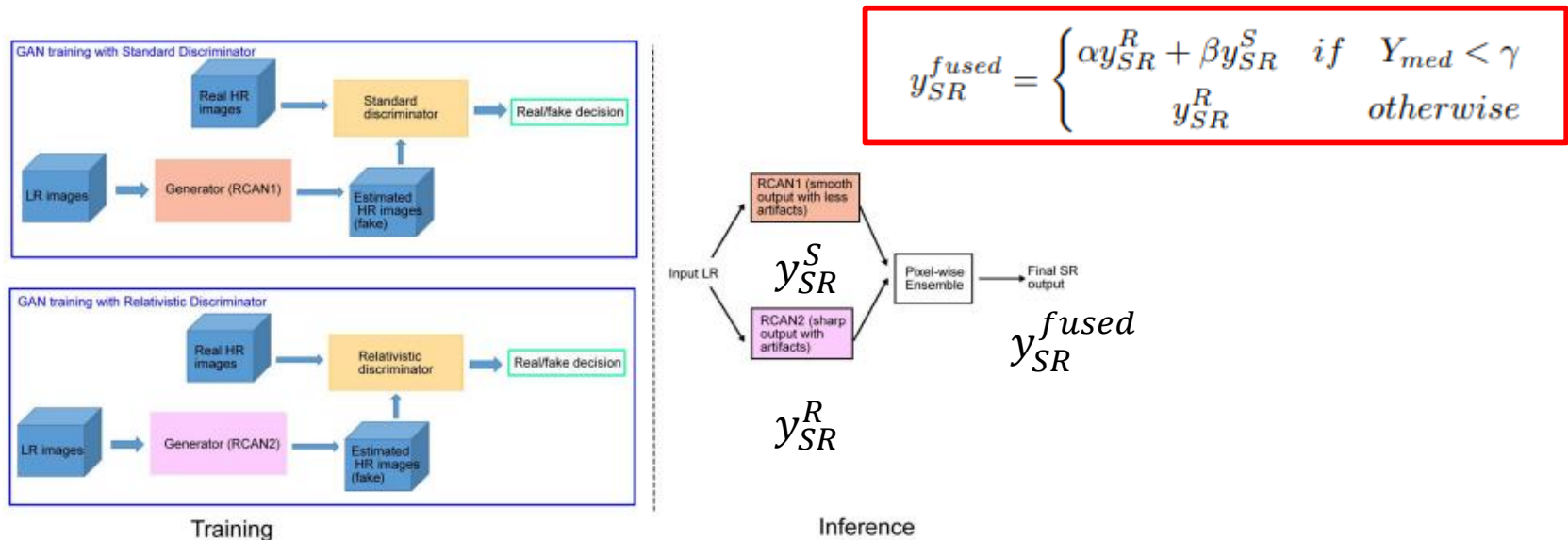
Proposed Method 1

- Contribution 3

- 두개의 GAN을 사용하여 네트워크 fusion

- Standard discriminator = 임의의 영상이 real 혹은 fake 인지 판별 → SRGAN 사용
 - Relativistic discriminator = real 영상이 fake 영상 보다 realistic 한지를 판별 → ESRGAN 사용
 - Y_{med} : median of the pixel intensity values in Y channel

∴ Y value 가 낮은 부분의 image quality가 높아진다



Experimental Results

- Track 1
 - Bicubic SR : 기존의 dataset
 - Generic SR : 제안하는 dataset
 - LPIPS [10]
 - 영상의 인지적 성능을 판단

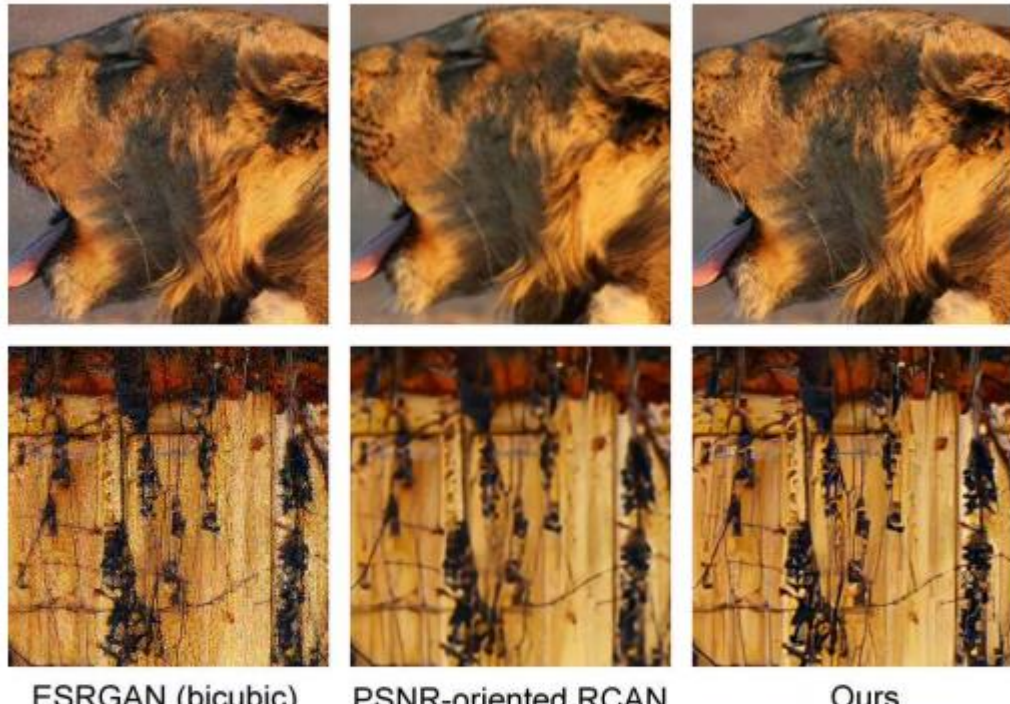


Figure 4. Qualitative comparisons of different SR algorithms on the testing images of NTIRE 2020 RealSR challenge track 1, with scaling factor x4.

Table 1. PSNR (dB)/SSIM/LPIPS evaluation of different SR methods on the validation data of NTIRE 2020 RealSR challenge track 1, with scaling factor x4. The lower LPIPS, the better.

Method	Training	PSNR(dB)/SSIM/LPIPS
ESRGAN [29]	Bicubic SR	19.06/0.2424/0.7552
PSNR-oriented RCAN	Generic SR	27.36/0.7620/0.3680
Ours	Generic SR	25.78/0.7119/ 0.2482

Experimental Results

- Track 2

- Standard ESRGAN

- 기존의 dataset으로 학습한 ESRGAN

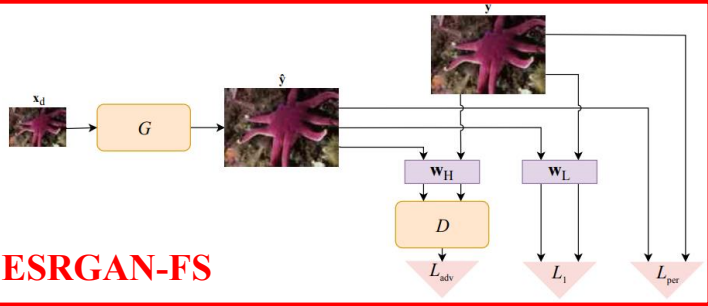
- ESRGAN-FS [11]

- Frequency Separation을 적용한 ESRGAN

- DPED dataset 사용

- ↳ Mobile image → HR

- ↳ downsampling GAN으로 LR 이미지 생성

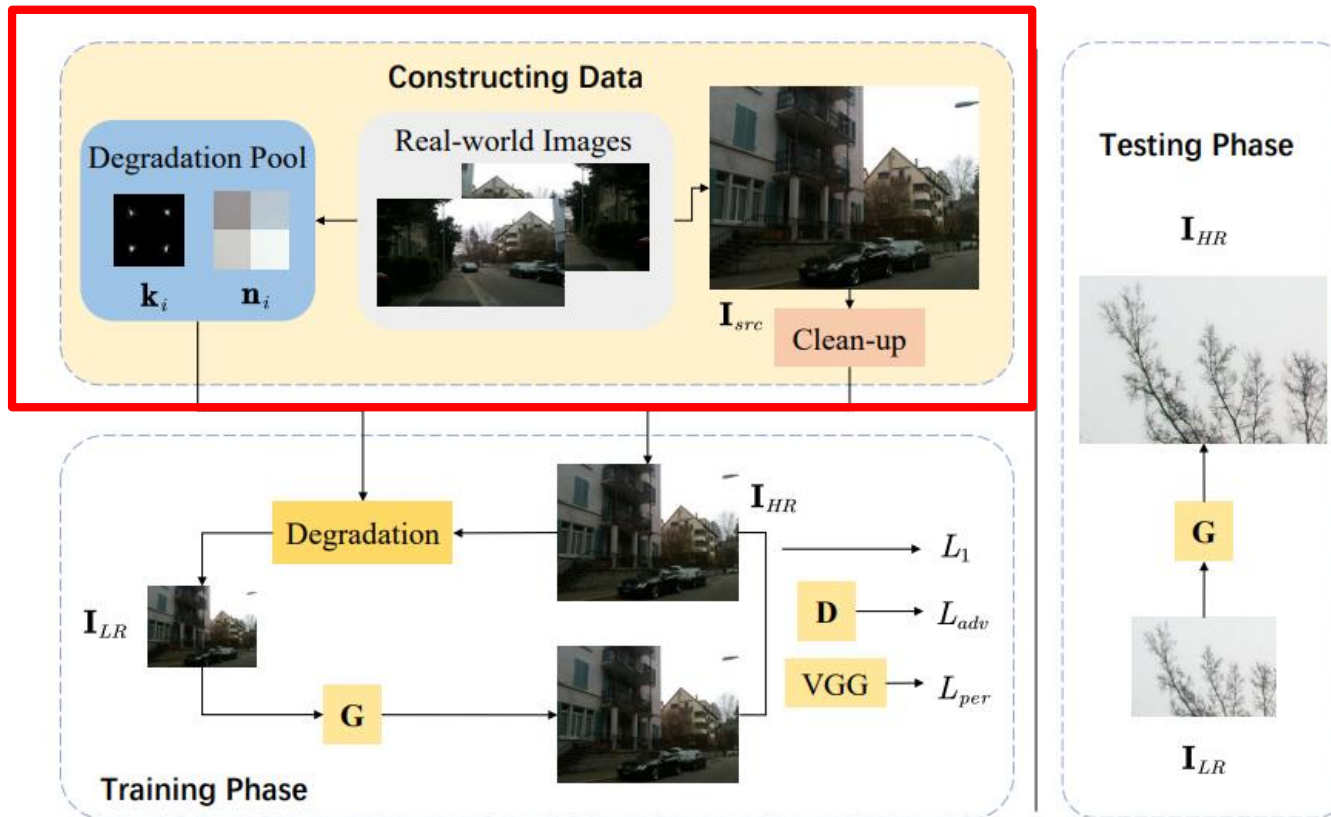


Proposed Method 2

- Real-World Super-Resolution via Kernel Estimation and Noise Injection
 - Contribution 1
 - We propose a novel degradation framework RealSR under real-world setting, which provides realistic images for super-resolution learning.
 - Contribution 2
 - By estimating the kernel and noise, we explore the specific degradation of blurry and noisy images.
 - Contribution 3
 - We demonstrate that the proposed RealSR achieves state-of-the-art results in terms of visual quality

Proposed Method 2

- Network Architecture
 - Contribution 1, 2 → 학습 데이터셋 만드는 방법

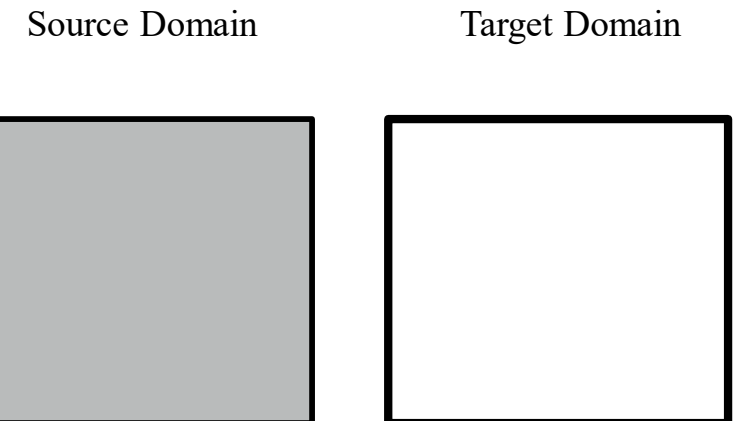


Proposed Method 2

- Contribution

- Ntire Challenge의 데이터셋

- 주어진 데이터셋은 LR-HR pair 데이터셋이 아니기 때문에 주어진 영상에서 pair를 형성하여야 한다.



Proposed Method 2

- Contribution

- 학습데이터 얻는 과정

- 원하는 HR-LR pair

- ↳ LR : Source domain에서의 degradation 및 noise가 적용된 LR

- ↳ HR : Target domain의 clean한 HR 영상

- Clean-up

- ↳ HR 영상의 개수를 늘리기 위해 이상적인 bicubic downsampling 적용

- ↳ noise 및 artifact 제거 효과

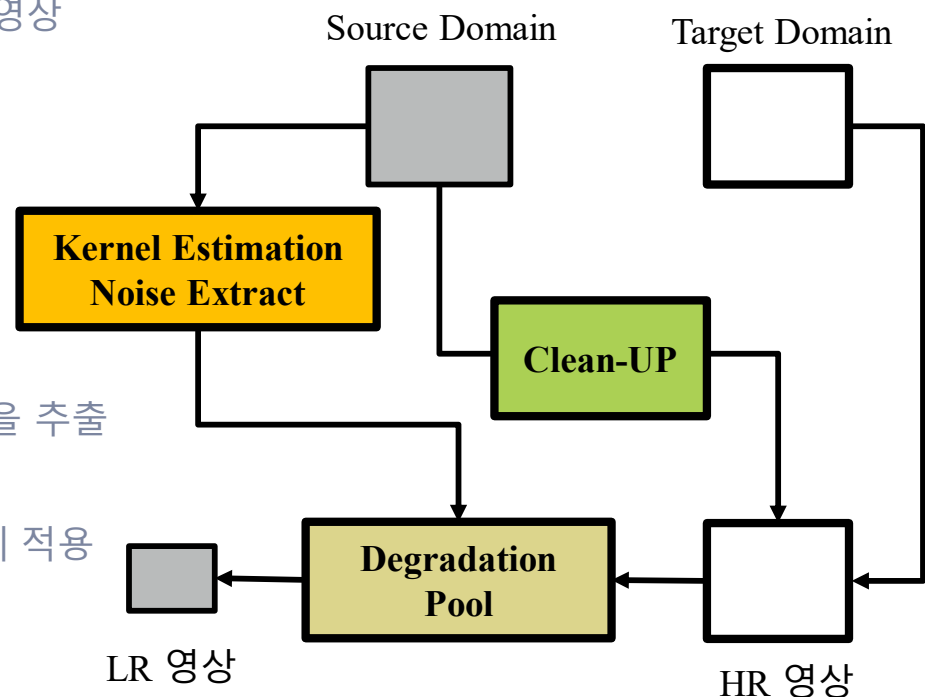
- Kernel Estimation / Noise Extract

- ↳ Source domain 영상의 degradation을 추출

- Degradation pool

- ↳ 위에서 추출한 degradation을 HR에 적용

- ✓ Noise Injection



Proposed Method 2

- Contribution

- Related Work

- ZSSR (Zero-shot Super Resolution) [12] (CVPR 2018)

정확한 K 를 알수 있다면 LR 영상에서 HR 영상으로 변환하는데 유용

$$LR = HR * K_{\downarrow}$$

※ Blind Super Resolution (SR)

※ 입력 LR 영상으로 일반적으로 bicubic downsampling된 영상이 아닌 임의의 downsampling 기법으로 생성된 영상의 해상도를 변화하는 SR 알고리즘

※ 다양한 학습데이터를 필요로 하지 않고 하나의 입력 영상을 기반으로 수행

(a) SR under aliasing:



Ground truth
(PSNR / SSIM)



EDSR+ [12]
(21.64 / 0.6641)



ZSSR (ours)
(25.02 / 0.7658)

(b) SR under unknown non-ideal downscaling kernel:



Ground truth
(PSNR / SSIM)



EDSR+ [12]
(24.44 / 0.7006)



ZSSR (ours)
(27.62 / 0.8367)

Proposed Method 2

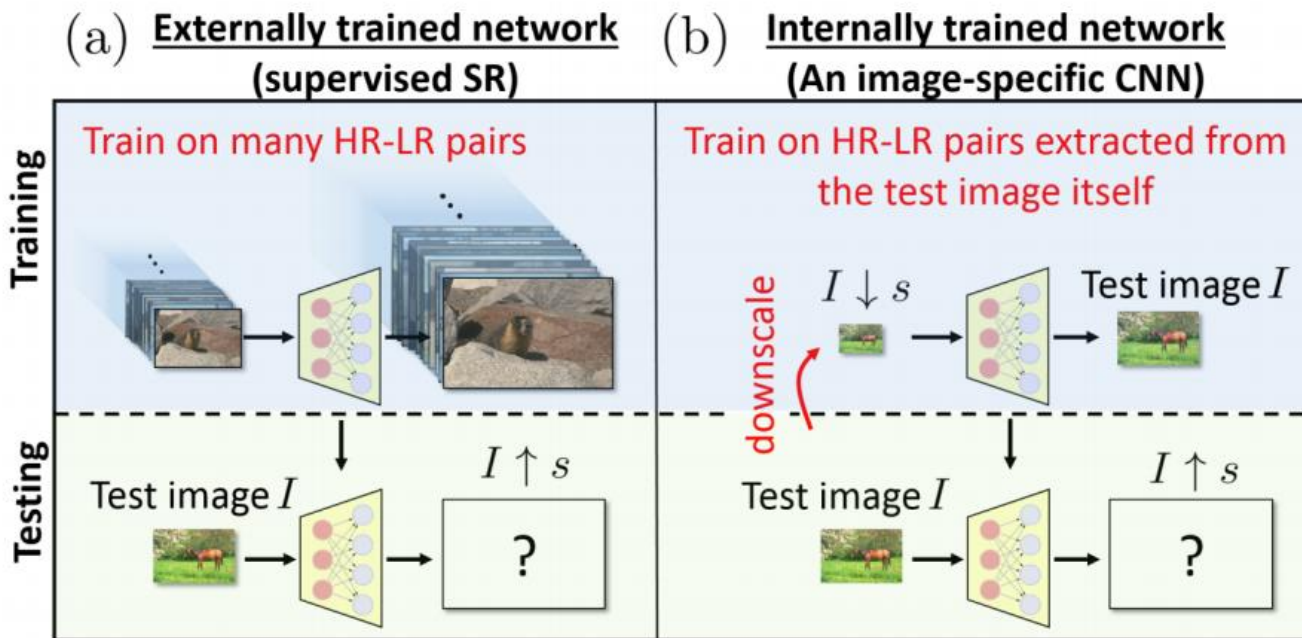
- Contribution

- Related Work

- ZSSR (Zero-shot Super Resolution)

큰 학습데이터셋을 필요로 하지 않고 **downsampling** 방법을 구해 입력 LR 영상 하나로 학습

Michaeli & Irani [13] 의 Kernel Estimation 사용 (ICCV 2013)



Proposed Method 2

- Contribution

- Related Work

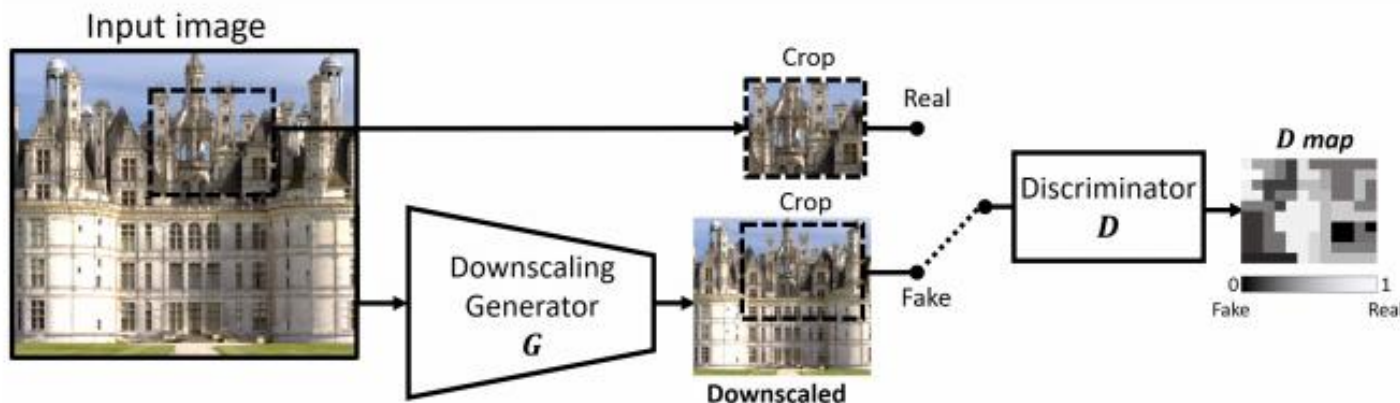
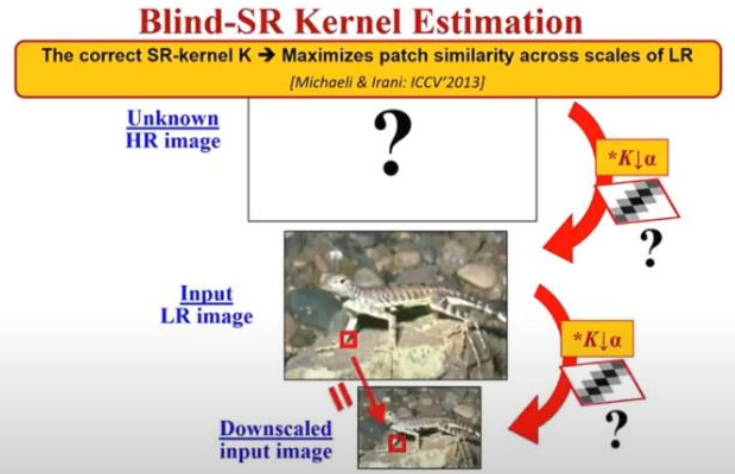
- KernelGAN (NIPS 2019) [14]

- ▷ Downsampling 기법을 알아내기 위해 KernelGAN 사용

- ▷ Downscaling Generator → Linear network

- ✓ 여러 개의 global minima 후보를 생성하여 학습

- ▷ Real 과 Fake 의 patch similarity 가 유사해지도록 학습



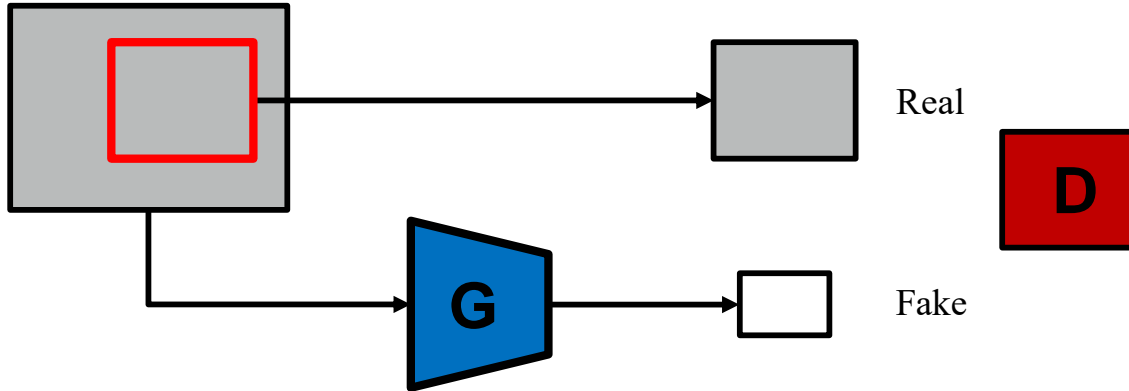
Proposed Method 2

- Contribution

- Kernel Estimation

- source domain의 영상의 저주파수 정보를 downsampled 영상이 유지하는데 도움
 - 임의의 영상을 입력으로 하였을 때 Source Domain의 patch distribution을 가지는 downsampled 영상을 출력하는 Generator (kernel) 학습
 - 각각의 영상 별로 kernel 을 출력하여 Degradation pool에 추가

Source Domain



Algorithm 1 Realistic Degradation of our RealSR

Input: Real images set \mathcal{X} , HR images set \mathcal{Y} , downsample scale factor s

Output: Realistic paired images $\{\mathbf{I}_{LR}, \mathbf{I}_{HR}\}$

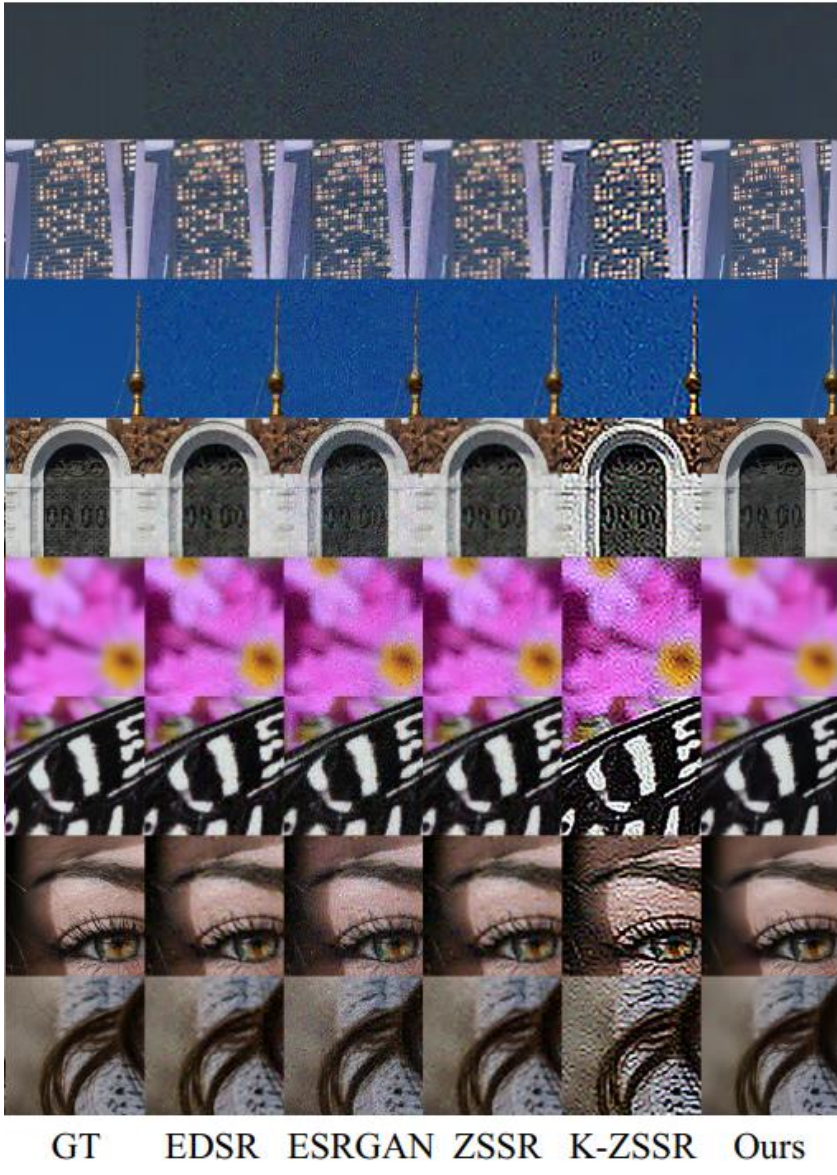
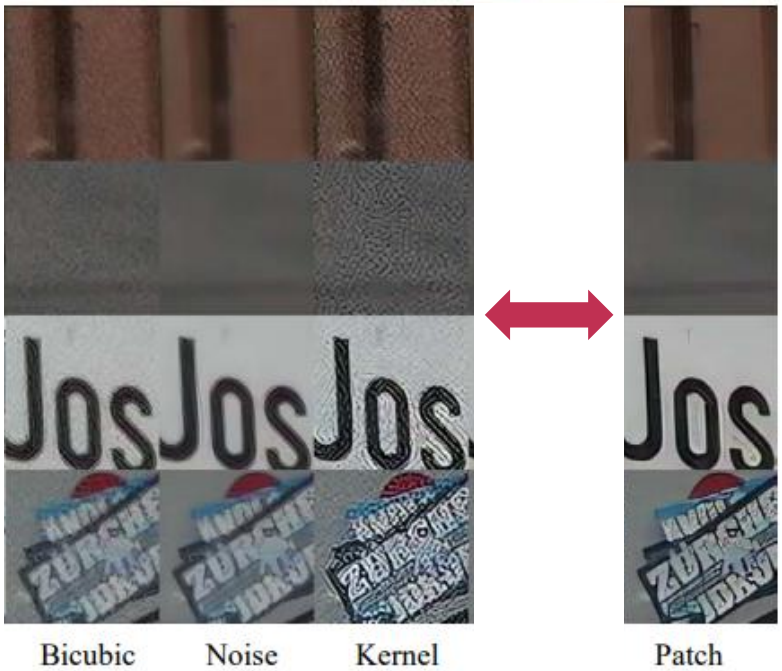
```
1: Initialize kernel pool  $\mathcal{K} = \emptyset$ 
2: Initialize noise pool  $\mathcal{N} = \emptyset$ 
3: for all  $\mathbf{I}_{src}$  such that  $\mathbf{I}_{src} \in \mathcal{X}$  do
4:   Estimate  $\mathbf{k}$  from  $\mathbf{I}_{src}$  by solving Eqn. 4
5:   Add  $\mathbf{k}$  to  $\mathcal{K}$ 
6:   Crop  $\mathbf{n}$  from  $\mathbf{I}_{src}$ 
7:   if  $\mathbf{n}$  meet Eqn. 7 then
8:     Add  $\mathbf{n}$  to  $\mathcal{N}$ 
9:   end if
10: end for
11: for all  $\mathbf{I}_{HR}$  such that  $\mathbf{I}_{HR} \in \mathcal{Y}$  do
12:   Randomly select  $\mathbf{k}_i \in \mathcal{K}$ ,  $\mathbf{n}_j \in \mathcal{N}$ 
13:   Generate  $\mathbf{I}_{LR}$  with  $\mathbf{k}_i$  and  $\mathbf{n}_j$ 
14: end for
15: return  $\{\mathbf{I}_{LR}, \mathbf{I}_{HR}\}$ 
```

Experimental Results

- Track 1

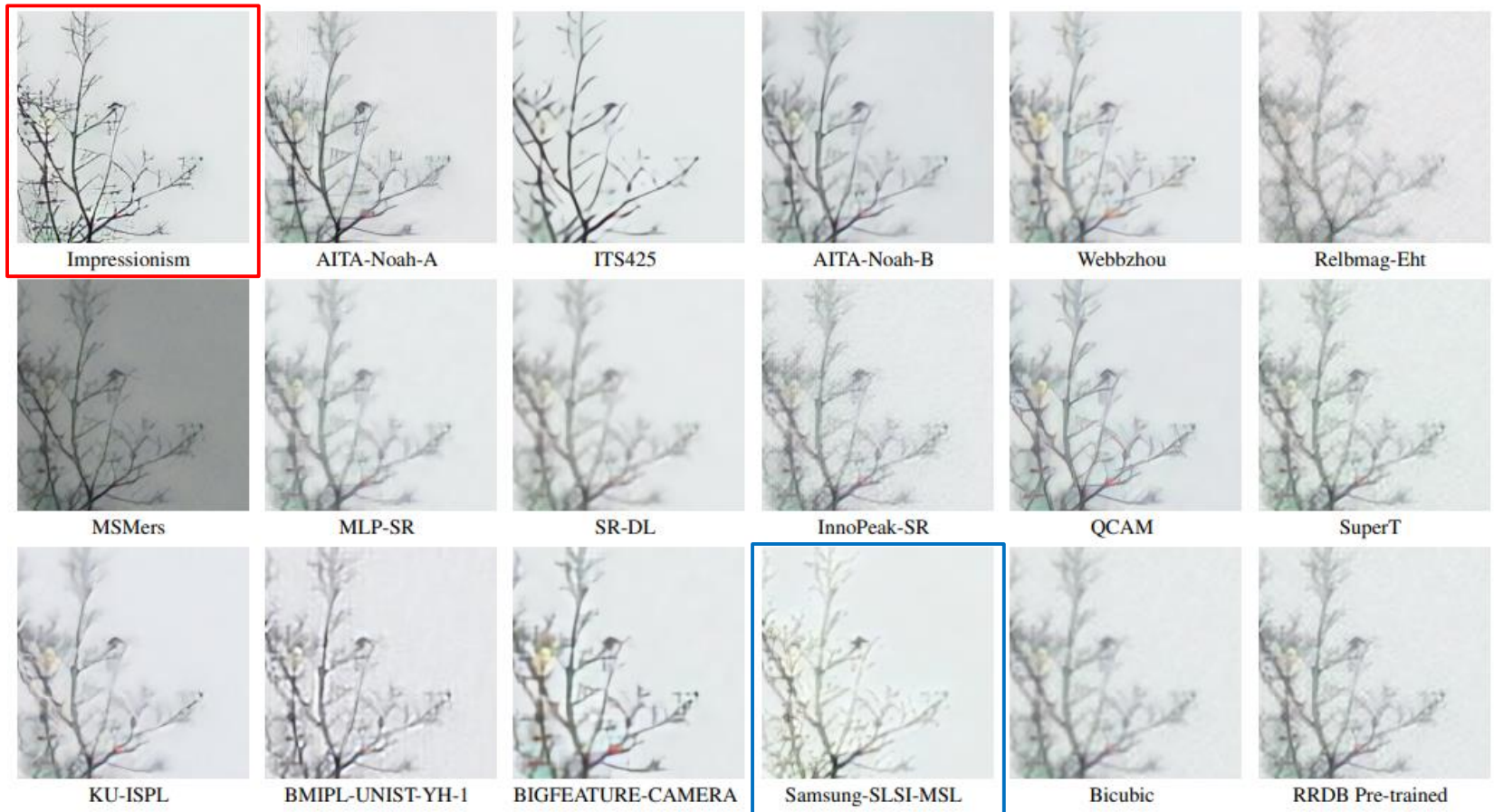
- Ablation Study

- Noise → Kernel Estimation 제거
 - Kernel → Noise Injection 제거



Experimental Results

- Track 2



References

- 1. Dong, C., Loy, C.C., He, K., Tang, X.: Image super-resolution using deep convolutional networks. *TPAMI* 38(2), 295–307 (2016)
- 2. Kim, J., Kwon Lee, J., Mu Lee, K.: Accurate image super-resolution using very deep convolutional networks. In: *CVPR* (2016)
- 3. Ledig, C., Theis, L., Husz'ar, F., Caballero, J., Cunningham, A., Acosta, A., Aitken, A., Tejani, A., Totz, J., Wang, Z., Shi, W.: Photo-realistic single image superresolution using a generative adversarial network. In: *CVPR* (2017)
- 4. Lim, B., Son, S., Kim, H., Nah, S., Lee, K.M.: Enhanced deep residual networks for single image super-resolution. In: *CVPRW* (2017)
- 5. Zhang, Yulun, et al. "Image super-resolution using very deep residual channel attention networks." *Proceedings of the European Conference on Computer Vision (ECCV)*. 2018.
- 6. Wang, Xintao, et al. "Esrgan: Enhanced super-resolution generative adversarial networks." *Proceedings of the European Conference on Computer Vision (ECCV)*. 2018.
- 7. Johnson, Justin, Alexandre Alahi, and Li Fei-Fei. "Perceptual losses for real-time style transfer and super-resolution." *European conference on computer vision*. Springer, Cham, 2016.
- 8. Andrey Ignatov, Nikolay Kobyshev, Radu Timofte, Kenneth Vanhoey, and Luc Van Gool. DSLR-quality photos on mobile devices with deep convolutional networks. In *IEEE International Conference on Computer Vision*, pages 3277– 3285, 2017.

References

- 9. Jolicoeur-Martineau, A.: The relativistic discriminator: a key element missing from standard gan. arXiv preprint arXiv:1807.00734 (2018)
- 10. Richard Zhang, Phillip Isola, Alexei A Efros, Eli Shechtman, and Oliver Wang. The unreasonable effectiveness of deep features as a perceptual metric. In Proceedings of the IEEE Conference on Computer Vision and Pattern Recognition, pages 586–595, 2018.
- 11. Manuel Fritzsche, Shuhang Gu, and Radu Timofte. Frequency separation for real-world super-resolution. arXiv preprint arXiv:1911.07850, 2019.
- 12. Assaf Shocher, Nadav Cohen, and Michal Irani. “zero-shot” super-resolution using deep internal learning. In Proceedings of the IEEE Conference on Computer Vision and Pattern Recognition, pages 3118–3126, 2018.
- 13. T. Michaeli and M. Irani. Nonparametric blind super-resolution. In International Conference on Computer Vision (ICCV), 2013.
- 14. Sefi Bell-Kligler, Assaf Shocher, and Michal Irani. Blind super-resolution kernel estimation using an internal-gan. In Advances in Neural Information Processing Systems, pages 284–293, 2019.